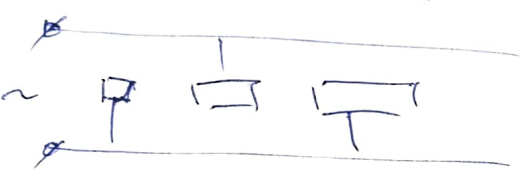


Линейные

Ускорители

Типы лн. ускорителей

- * Ускорители прямого действия
 - Частица ускоряется в $\vec{E} = \text{const}$
- * Ускорители трансформ. типа
 - ↓
 - высоковольт.
- * Каскадные ускорители
 - разделение магнитомодов
- * Электростат. ускорители
 - $U = \frac{Q}{C}$
- * Индукционные ускорители
 - Нет пробоя $E_{\text{вых}} = -\frac{\partial \Phi}{\partial t}$
 - $\sigma p = e S \frac{4\pi}{c}$
- * Лн. резон. ускорители



Видероз

* Волноводные ускорители

$$\epsilon_z = \epsilon_0 e^{i(\omega t - \beta z)}$$

$$\beta = \frac{\omega}{v} \Rightarrow v_e = v$$

Фазовая и групп. скорости



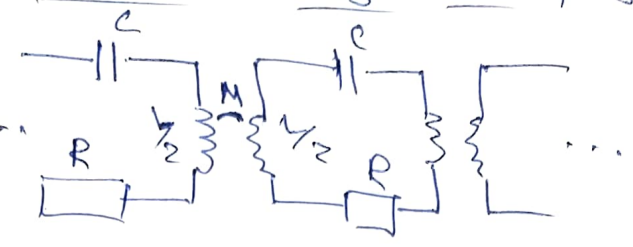
$$\vec{E}(\vec{r}) \sim e^{i(\omega t - \beta z)}$$

$$\varphi = \text{const} \Rightarrow \omega = \beta v_\phi$$

$$\vec{v}_{gr} = \vec{r} \lim_{\Delta t \rightarrow 0} \frac{\Delta l}{\Delta t}$$

! Для эффективного вз-я
 частоты с полями необходимо
 $|\omega_p| < c$

Цепочка связанных резон-в



У-е Кирхгофа:

$$0 = \frac{1}{j\omega C} I_n + j\omega L I_n + R I_n + j\omega M I_n + j\omega M I_n$$

Th. Флоке $\Rightarrow I_{n+1} = I_n e^{-j\theta}$
 $I_{n-1} = I_n e^{j\theta}$

$$k = \frac{M}{L} : -\frac{\omega_0^2}{\omega^2} + 1 - j \frac{\omega_0}{Q_0 \omega} + 2k \cos \theta = 0$$

$$\omega_0^2 = \frac{1}{LC} \quad \omega_s = \frac{\omega_0}{\sqrt{1 + 2k \cos \theta}}$$

$$Q_0 = \frac{\omega_0 L}{R} \gg 1$$

$$\theta = \beta_z d = \frac{2\pi d}{\lambda_g}, \quad d - \text{длина резонатора}$$

$$\Rightarrow v_\phi = \frac{\omega}{\beta_z} = \frac{\omega_0 d}{\theta} \cdot \frac{1}{\sqrt{1 + 2k \cos \theta}}$$

$$v_{gr} = \frac{\partial \omega}{\partial \beta_z} = k \omega_0 d \frac{\sin \theta}{(1 + 2k \cos \theta)^{3/2}}$$

Расчет круглого волновода с магн. диэлектр.

$$\begin{cases} \text{rot } \vec{H} = i\omega \epsilon \vec{E} \\ \text{div } \vec{E} = 0 \end{cases} \quad \epsilon_z = \epsilon_0 e^{-i\frac{\omega}{v} z}$$

в малом окрестности $\epsilon_z \neq \epsilon_0$

$$\rightarrow H_\varphi \approx \frac{i\omega \epsilon}{2} z \epsilon_z$$

$$\epsilon_z \approx \frac{i\beta}{2} z \epsilon_z$$

$$P_z = P = \frac{1}{2} \int \epsilon_z H_\varphi dS = \frac{\pi^3}{4} \left(\frac{a}{\lambda} \right)^4 \frac{(\epsilon \lambda)^2}{20 \beta}$$

а-диаметр, d-длина рез. ①

Возбуждение ГС

$$\frac{dP}{dz} = -2\alpha P, \quad \alpha - \text{затухание}$$

$$-2\alpha P = \frac{\partial P}{\partial z} + \frac{\partial P}{\partial t} \frac{dt}{dz} = \frac{\partial P}{\partial z} + \frac{1}{v_g} \frac{\partial P}{\partial t}$$

- ГС с СЗ

$$P_R = \alpha P_{sh} - \text{коэф. сопротв.}$$

$$\Rightarrow \text{т.к. } \alpha P_{sh} = \text{const} \rightarrow \boxed{CZ}$$

$$\Rightarrow \alpha = \text{const} \Rightarrow v_g = \text{const}$$

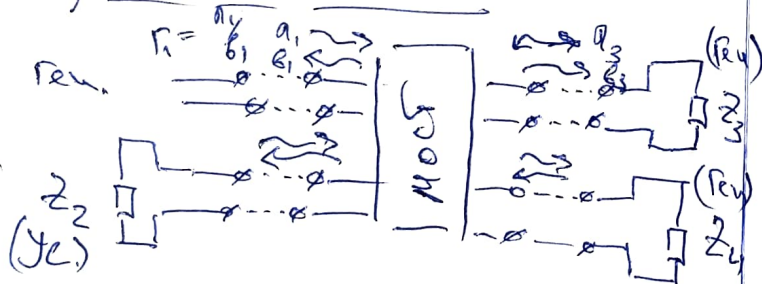
- ГС с СГ

$$\epsilon(z) = \sqrt{2\alpha(z) P_{sh}(z) P(z)}$$

$$\text{если } \alpha(z) \sim \frac{1}{P(z)} \Rightarrow \epsilon(z) = \text{const}$$

$$\rightarrow \boxed{CG}$$

Трансформация SLED



$$\vec{b} = S \vec{a}; \quad S = \frac{1}{\sqrt{2}} \begin{pmatrix} 0 & 0 & 1 & -i \\ 0 & 0 & -i & 1 \\ 1 & -i & 0 & 0 \\ -i & 1 & 0 & 0 \end{pmatrix}$$

$$\begin{pmatrix} a_2 \\ a_3 \\ a_4 \end{pmatrix} = \begin{pmatrix} \Gamma_2 & 0 & 0 \\ 0 & \Gamma_3 & 0 \\ 0 & 0 & \Gamma_4 \end{pmatrix} \begin{pmatrix} b_2 \\ b_3 \\ b_4 \end{pmatrix}$$

$$\Rightarrow b_1 = \frac{a_1}{2} \frac{\Gamma_3 - \Gamma_4 - 2\Gamma_2\Gamma_3\Gamma_4}{1 + \frac{\Gamma_2}{2}(\Gamma_3 - \Gamma_4)}$$

$$\text{в уд. случае } \Gamma_2 = 0 \\ \Gamma_3 = \Gamma_4 = \Gamma_0$$

$$\Rightarrow b_1 = 0, \quad a_1 - \text{задано}$$

$$b_2 = -ia_1\Gamma_0, \quad a_2 = 0$$

$$b_3 = a_1/\sqrt{2}, \quad a_3 = \frac{a_1}{\sqrt{2}}\Gamma_0$$

$$b_4 = -\frac{ia_1}{\sqrt{2}}, \quad a_4 = -\frac{ia_1}{\sqrt{2}}\Gamma_0$$

т.е. SLED \equiv переход. уроч. в однокан. резонаторе

А волн. мощ. нумен для направления энергии от резонаторов волн к нагрузке (ГС.)

к.п.д. ускорителя

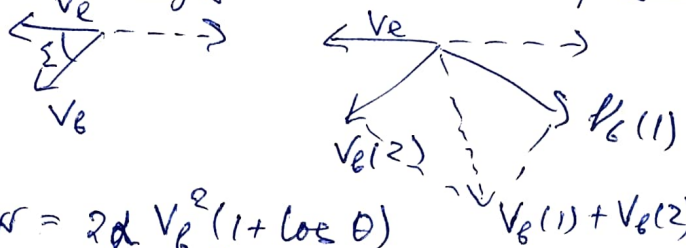
P_n - мощность к нагрузке

P_0 - мощность пика

$$\eta = \frac{P_n}{P_0} = \frac{U \cdot I_0}{P_0} = \frac{U_0 I_0 - M I_0}{P_0}$$

$$\eta_{\max} = \frac{U_0^2}{4MP_0}$$

Th нагрузка токком для резон.



$$W = 2\alpha V_b^2 (1 + \cos \theta)$$

$$\Delta U = g V_e + [g V_e + g V_b \cos(\xi + \theta)]$$

$$W = \Delta U \quad \theta - \text{наблюд.}$$

$$\Rightarrow \sin \xi = 0$$

$$V_b = \frac{g}{2\alpha}$$

$$f = \frac{1}{2} = \frac{\alpha V_b}{g}$$

$$V_e = \frac{1}{2} V_b$$

Пл. Умова - Поинтинга

$$\text{div } \mathbf{E} \times \mathbf{H} = -\mathbf{E} \nabla \times \mathbf{H} + \mathbf{H} \nabla \times \mathbf{E}$$

$$\text{div } \mathbf{E} \times \mathbf{H} = -\mathbf{E} \cdot \mathbf{j} + \underbrace{\mathbf{E} \cdot \nabla \epsilon^2}_{(2)} - \underbrace{\frac{\epsilon \nabla \epsilon^2}{2 \nabla t}}_{(3)} - \underbrace{\frac{\mu \mu_0 \nabla I^2}{2 \nabla t}}_{(4)}$$

$$\Rightarrow - \oint \mathbf{E} \times \mathbf{H} d\mathbf{s} = \underbrace{\int \mathbf{E} \cdot \mathbf{j} dV}_{(1)} + \underbrace{\int \mathbf{E} \cdot \nabla \epsilon^2 dV}_{(2)} + \underbrace{\frac{2}{\nabla t} \int \frac{\epsilon \nabla \epsilon^2}{2} dV}_{(3)} + \underbrace{\frac{\mu \mu_0}{2} \nabla I^2 dV}_{(4)}$$

(1) - Поток мощности через макс.

(2) - Мощность от источника тока

(3) - Очистка мощности потерь

(4) - Мощность э/м поля

$\mathbf{P} = \mathbf{E} \times \mathbf{H}$ - вектор Поинтинга

$$\text{Re} \langle \mathbf{P} \rangle = \frac{1}{2} \text{Re}(\mathbf{E} \times \mathbf{H}^*)$$

Методы исследования

усл. структур

! Также используется метод

резонансного маятника

Омрезок структуры, включающий в себя несколько единичных ячеек, работающих в режиме стоячей волны

* Для усл. безуг. волны исследуемый омрезок ограничив. короткими замыканиями

! Нужно, чтобы сам резонатор и его омещение облучившись собой бесконечный исходный волновод

В некоторых случаях, это не удается (спираль)

Метод резонансных возмущений

Методом можно измерить хар-ки усл. омрезка, только к "энергетическим" срезам усл. с постоянн. ПФ. и длиной периода ячейки

Основа метода:

$$\Delta \Gamma = - \frac{j \omega}{P_r} \left(\sum_i k_{ii} \epsilon_i^2 - k_{2i} \epsilon_i^2 + f_i \epsilon_i^2 \right)$$

P_r - мощность ген.

ω - круг. част. структура

k_1, k_2, f - коэф-ты формы, максимальн. размеры

Презентация

и Анализ ИЭР

Андрей

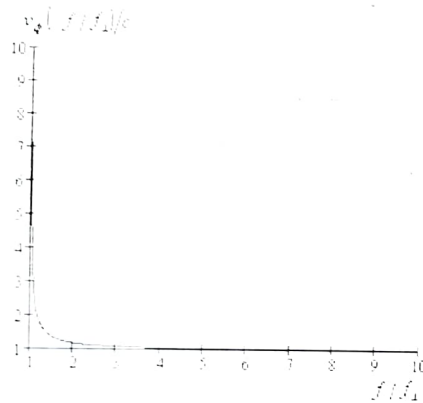


Рис. 2.3.1. Дисперсионная кривая

2.4. Основные типы волн

Для регулярных волноводов, показанных на рисунке 2.3.2, с вакуумным наполнением и при отсутствии затухания $\alpha = 0$ уравнения (2.2.5) и (2.2.6) можно переписать в более простой форме

$$\begin{cases} \left(k^2 + \frac{\partial^2}{\partial z^2} \right) \vec{E}_\perp = \vec{\nabla}_\perp \frac{\partial \vec{E}_z}{\partial z} - ikZ \cdot \vec{\nabla}_\perp H_z \times \vec{z}_0, \\ \left(k^2 + \frac{\partial^2}{\partial z^2} \right) \vec{H}_\perp = \vec{\nabla}_\perp \frac{\partial \vec{H}_z}{\partial z} + i \frac{k}{Z} \cdot \vec{\nabla}_\perp \vec{E}_z \times \vec{z}_0, \end{cases} \quad (2.4.1)$$

$$\begin{cases} \nabla^2 \vec{E}_z + k^2 \vec{E}_z = 0 \\ \nabla^2 \vec{H}_z + k^2 \vec{H}_z = 0 \end{cases} \quad (2.4.2)$$

Из (2.4.1) и (2.4.2) следует, что существуют три независимых решения (три независимых вида волны): $H_z = 0$, $\vec{E}_z \neq 0$ - ТМ (E-волна); $\vec{H}_z \neq 0$, $\vec{E}_z = 0$ - НН (Н-волна); $H_z = 0$, $\vec{E}_z = 0$ - ТЕМ. Все остальные волны получаются из суперпозиции трех основных типов волн.

Рис. 2.3.2. Внешний вид прямоугольного и цилиндрического волноводов

С учётом (2.2.7) дифференцирование по координате z можно заменить на $\frac{\partial}{\partial z} = -i\beta$, $\frac{\partial^2}{\partial z^2} = -\beta^2$. Применяя определение для критического волнового числа $k_c^2 = k^2 - \beta^2$, выражения (2.4.1) и (2.4.2) примут вид ($Z_0 = \sqrt{\frac{\mu_0}{\epsilon_0}} = 120\pi$ Ом)

$$\begin{cases} \vec{E}_\perp = -\frac{ik}{k_c^2} \left[\frac{\beta}{k} \cdot \vec{\nabla}_\perp \vec{E}_z + Z_0 \cdot \vec{\nabla}_\perp \vec{H}_z \times \vec{z}_0 \right] \\ \vec{H}_\perp = -\frac{ik}{k_c^2} \left[\frac{\beta}{k} \cdot \vec{\nabla}_\perp \vec{H}_z - \frac{1}{Z_0} \cdot \vec{\nabla}_\perp \vec{E}_z \times \vec{z}_0 \right] \end{cases} \quad (2.4.3)$$

ТМ (Е-волна): $H_z = 0$

В этом случае из (2.4.3) легко получить выражения:

$$\begin{cases} \vec{E}_\perp = -\frac{ik}{k_c^2} \frac{\beta}{k} \cdot \vec{\nabla}_\perp \vec{E}_z \\ \vec{H}_\perp = \frac{ik}{k_c^2} \frac{1}{Z_0} \cdot \vec{\nabla}_\perp \vec{E}_z \times \vec{z}_0 \end{cases}$$

или

$$\begin{cases} \dot{\vec{E}}_z = Z_l \left[\dot{\vec{H}}_z \times \vec{z}_0 \right] \\ \dot{\vec{H}}_z = -\frac{1}{Z_l} \left[\dot{\vec{E}}_z \times \vec{z}_0 \right], \\ Z_l = \frac{\beta}{k} Z_0 \end{cases} \quad (2.4.4)$$

ТЕ (Н-волна): $E_z=0$

С учетом (2.4.3) по аналогии с (2.4.4), получаем:

$$\begin{cases} \dot{\vec{E}}_z = Z_H \left[\dot{\vec{H}}_z \times \vec{z}_0 \right] \\ \dot{\vec{H}}_z = -\frac{1}{Z_H} \left[\dot{\vec{E}}_z \times \vec{z}_0 \right], \\ Z_H = \frac{k}{\beta} Z_0 \end{cases} \quad (2.4.5)$$

ТЕМ: $E_z=0, H_z=0$

В данном случае дисперсия волн отсутствует и $k_z = 0$, поэтому в уравнениях (2.4.3) возникает неопределенность, тем не менее, решение для таких волн существует, и в общем виде оно записывается аналогично двум другим типам волн, только волновое сопротивление равно $Z_0 = 120\pi$ Ом [2.8]:

$$\begin{cases} \dot{\vec{E}}_z = Z_0 \left[\dot{\vec{H}}_z \times \vec{z}_0 \right] \\ \dot{\vec{H}}_z = -\frac{1}{Z_0} \left[\dot{\vec{E}}_z \times \vec{z}_0 \right]. \end{cases} \quad (2.4.6)$$

Решая уравнения (2.4.4) - (2.4.6) с учетом граничных условий для нормальной составляющей магнитного поля $H_{nz}=0$ и тангенциальной составляющей электрического поля $E_z=0$, без учета потерь, можно найти выражения для магнитных и электрических полей в волноводе [2.9].

Прямоугольный волновод Н-волна:

$$\begin{aligned} \dot{E}_x &= iH_{z\max} e^{-i\beta z} \frac{\beta}{k_z^2} Z_H \frac{m\pi}{b} \cos\left(\frac{m\pi}{a}x\right) \sin\left(\frac{n\pi}{b}y\right) \\ \dot{E}_y &= -iH_{z\max} e^{-i\beta z} \frac{\beta}{k_z^2} Z_H \frac{m\pi}{a} \sin\left(\frac{m\pi}{a}x\right) \cos\left(\frac{n\pi}{b}y\right) \\ \dot{E}_z &= 0 \end{aligned}$$

$$\begin{aligned} \dot{H}_x &= iH_{z\max} e^{-i\beta z} \frac{\beta}{k_z^2} \frac{m\pi}{a} \sin\left(\frac{m\pi}{a}x\right) \cos\left(\frac{n\pi}{b}y\right) \\ \dot{H}_y &= -iH_{z\max} e^{-i\beta z} \frac{\beta}{k_z^2} \frac{m\pi}{b} \cos\left(\frac{m\pi}{a}x\right) \sin\left(\frac{n\pi}{b}y\right) \\ H_z &= H_{z\max} e^{-i\beta z} \cos\left(\frac{m\pi}{a}x\right) \cos\left(\frac{n\pi}{b}y\right) \end{aligned}$$

Прямоугольный волновод Е-волна:

$$\begin{aligned} \dot{E}_x &= -i\dot{E}_{z\max} e^{-i\beta z} \frac{\beta}{k_z^2} \frac{m\pi}{a} \cos\left(\frac{m\pi}{a}x\right) \sin\left(\frac{n\pi}{b}y\right) \\ \dot{E}_y &= -i\dot{E}_{z\max} e^{-i\beta z} \frac{\beta}{k_z^2} \frac{n\pi}{b} \sin\left(\frac{m\pi}{a}x\right) \cos\left(\frac{n\pi}{b}y\right) \\ \dot{E}_z &= \dot{E}_{z\max} e^{-i\beta z} \sin\left(\frac{m\pi}{a}x\right) \sin\left(\frac{n\pi}{b}y\right) \\ H_x &= i\dot{E}_{z\max} e^{-i\beta z} \frac{\beta}{k_z^2} \frac{1}{Z_l} \frac{n\pi}{b} \sin\left(\frac{m\pi}{a}x\right) \cos\left(\frac{n\pi}{b}y\right) \\ \dot{H}_y &= -i\dot{E}_{z\max} e^{-i\beta z} \frac{\beta}{k_z^2} \frac{1}{Z_l} \frac{m\pi}{a} \cos\left(\frac{m\pi}{a}x\right) \sin\left(\frac{n\pi}{b}y\right) \\ H_z &= 0 \end{aligned}$$

Цилиндрический волновод Н-волна:

$$\begin{aligned} \dot{E}_\alpha &= -iH_{z\max} e^{-i\beta z} \frac{\beta}{k_z^2} Z_H \frac{v'_{mn}}{r_0} J'_m\left(\frac{v'_{mn}}{r_0}r\right) \begin{cases} \cos(m\alpha) \\ \sin(m\alpha) \end{cases} \\ \dot{E}_r &= \mp iH_{z\max} e^{-i\beta z} \frac{\beta}{k_z^2} Z_H \frac{m}{r} J_m\left(\frac{v'_{mn}}{r_0}r\right) \begin{cases} \sin(m\alpha) \\ \cos(m\alpha) \end{cases} \\ \dot{E}_z &= 0 \\ \dot{H}_\alpha &= \mp iH_{z\max} e^{-i\beta z} \frac{\beta}{k_z^2} \frac{m}{r} J_m\left(\frac{v'_{mn}}{r_0}r\right) \begin{cases} \sin(m\alpha) \\ \cos(m\alpha) \end{cases} \end{aligned}$$

$$\dot{H}_r = i\dot{H}_{z\max} e^{-i\beta z} \frac{\beta}{k_z^2} \frac{v'_{mn}}{r_0} J'_m \left(\frac{v'_{mn}}{r_0} r \right) \cdot \begin{cases} \cos(m\alpha) \\ \sin(m\alpha) \end{cases}$$

$$\dot{H}_z = \dot{H}_{z\max} e^{-i\beta z} J_m \left(\frac{v'_{mn}}{r_0} r \right) \cdot \begin{cases} \cos(m\alpha) \\ \sin(m\alpha) \end{cases}$$

Цилиндрический волновод Е-волна:

$$\dot{E}_{r_0} = i\dot{E}_{z\max} e^{-i\beta z} \frac{\beta}{k_z^2} \frac{m}{r} J_m \left(\frac{v_{mn}}{r_0} r \right) \cdot \begin{cases} \sin(m\alpha) \\ \cos(m\alpha) \end{cases}$$

$$\dot{E}_r = i\dot{E}_{z\max} e^{-i\beta z} \frac{\beta}{k_z^2} \frac{v_{mn}}{r_0} J'_m \left(\frac{v_{mn}}{r_0} r \right) \cdot \begin{cases} \cos(m\alpha) \\ \sin(m\alpha) \end{cases}$$

$$\dot{E}_z = \dot{E}_{z\max} e^{-i\beta z} J_m \left(\frac{v_{mn}}{r_0} r \right) \cdot \begin{cases} \cos(m\alpha) \\ \sin(m\alpha) \end{cases}$$

$$\dot{H}_r = -i\dot{E}_{z\max} e^{-i\beta z} \frac{\beta}{k_z^2} \frac{1}{Z_0} \frac{v_{mn}}{r_0} J'_m \left(\frac{v_{mn}}{r_0} r \right) \cdot \begin{cases} \cos(m\alpha) \\ \sin(m\alpha) \end{cases}$$

$$\dot{H}_r = \mp i\dot{E}_{z\max} e^{-i\beta z} \frac{\beta}{k_z^2} \frac{1}{Z_0} \frac{m}{r} J_m \left(\frac{v_{mn}}{r_0} r \right) \cdot \begin{cases} \sin(m\alpha) \\ \cos(m\alpha) \end{cases}$$

$$\dot{H}_z = 0$$

Здесь следующие обозначения: J_m - функция Бесселя m -го порядка. J'_m - производная функции Бесселя m -го порядка. v_{mn} - n -й корень функции Бесселя m -того порядка. v'_{mn} - n -й корень производной функции Бесселя m -того порядка. r_0 - радиус цилиндрического волновода (см. рисунок 2.3.2). a и b - ширина и высота прямоугольного волновода соответственно (см. рисунок 2.3.2). m и n - порядковые номера вариации поля по осям x и y для прямоугольного волновода и по углу и радиусу для цилиндрического волновода соответственно. Критические волновые числа находятся из соотношений:

$$k_z = \sqrt{\left(\frac{\pi m}{b}\right)^2 + \left(\frac{\pi n}{a}\right)^2} \quad \text{для Н и Е полей прямоугольного волновода.}$$

$$k_z = \frac{v_{mn}}{r_0} \quad \text{для Г поля цилиндрического волновода.}$$

$$k_z = \frac{v'_{mn}}{r_0} \quad \text{для Н поля цилиндрического волновода.}$$

Для прямоугольных волноводов самой низкой частотой пропускания является мода H_{10} , показанная на рисунке 2.4.1. Для волновода с сечением 72×34 мм² она соответствует частоте 2,08 ГГц (для 90×45 мм² – 1,67 ГГц).

Для цилиндрического волновода самой нижней модой является H_{11} . Следующая мода, изображенная на рисунке 2.4.2, идет E_{01} , которая используется для ускорения частиц, т.к. имеет продольное распределение электрического поля.

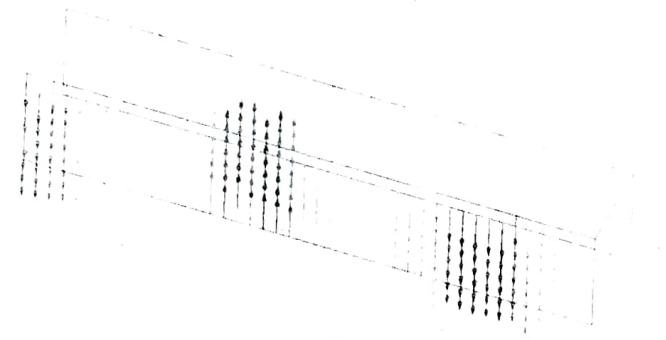




Рис. 2.4.1. Мода колебания H_{10} в прямоугольном волноводе:
вверху – электрическое поле, внизу – магнитное поле

